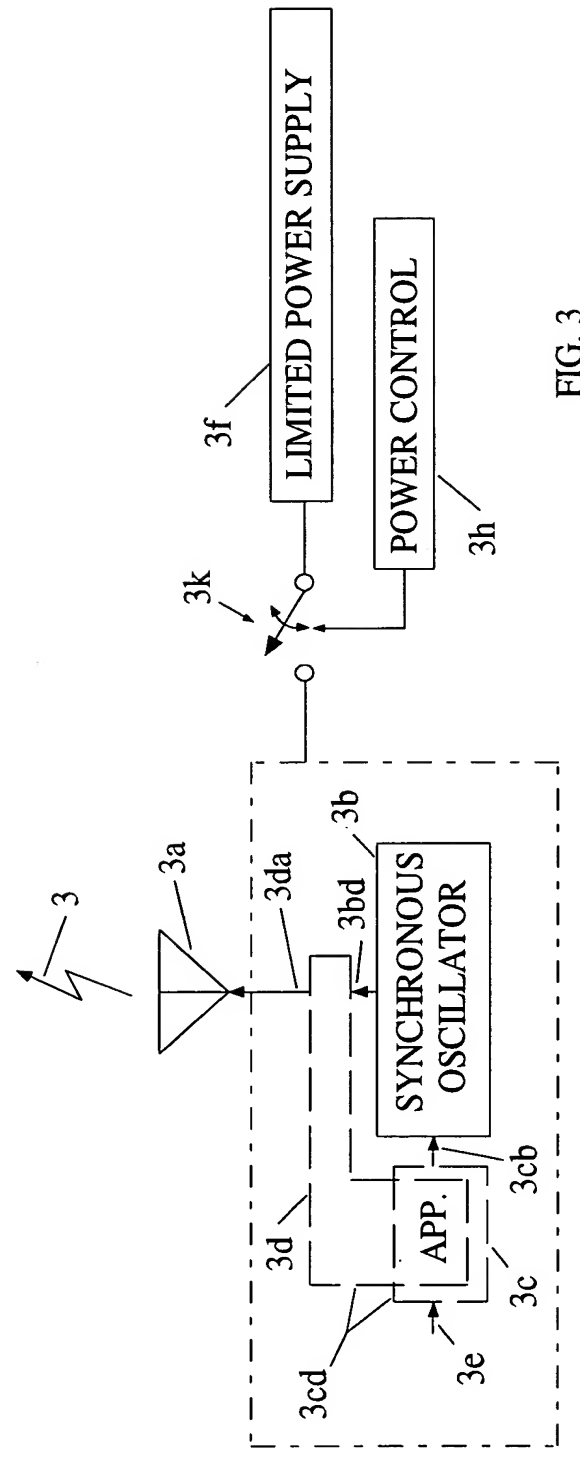
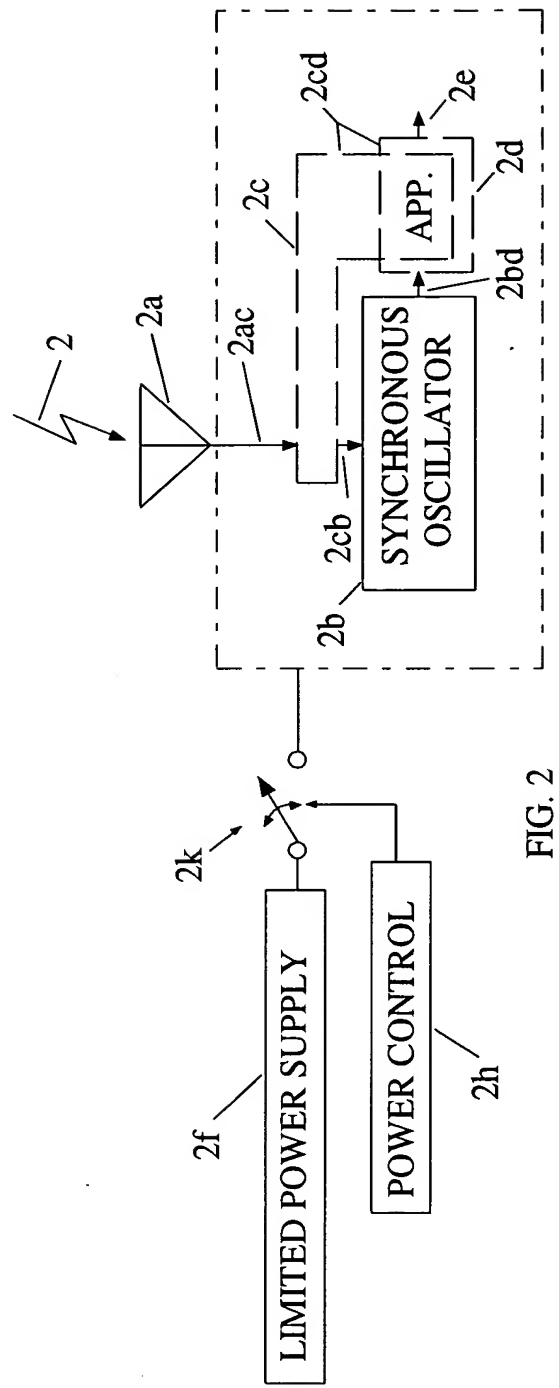


FIG. 1



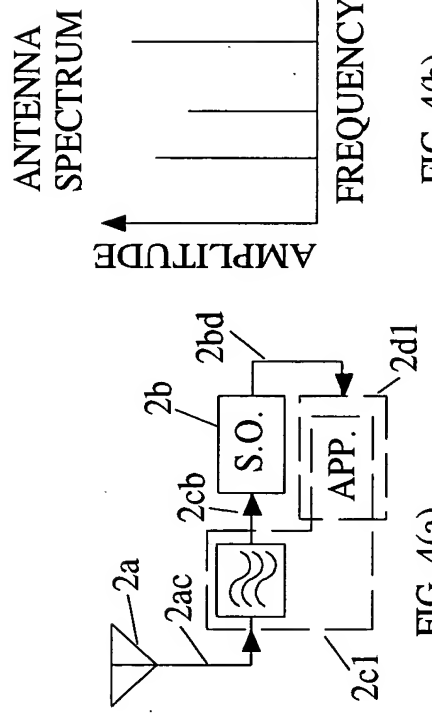


FIG. 4(a)

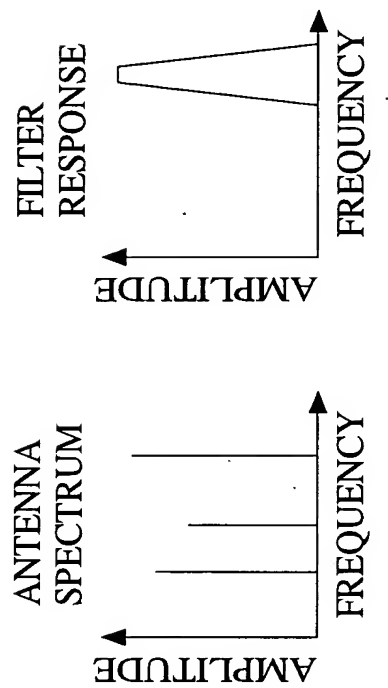


FIG. 4(b)

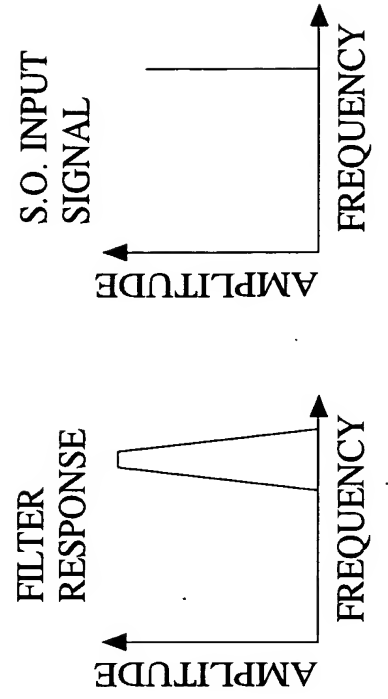


FIG. 4(c)

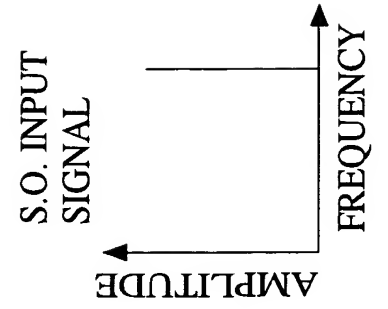


FIG. 4(d)

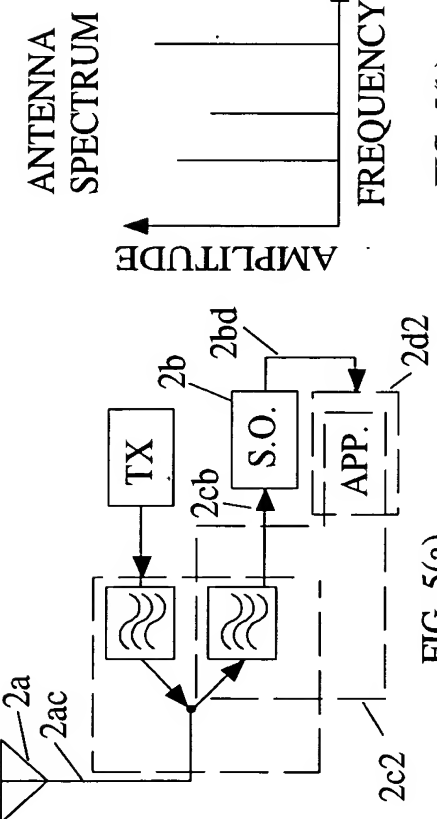


FIG. 5(a)

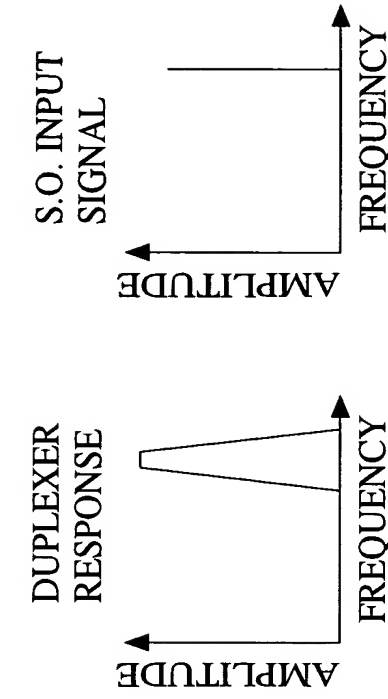


FIG. 5(b)

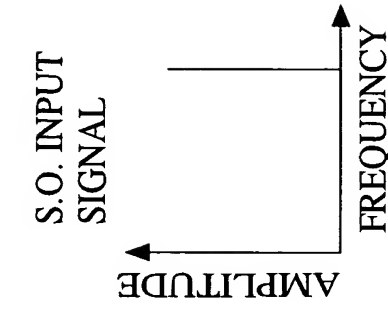


FIG. 5(c)

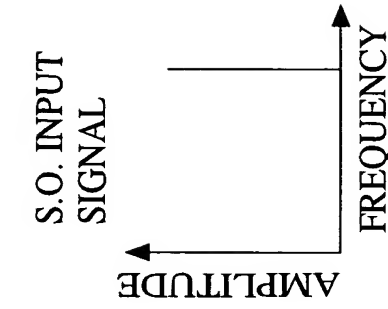


FIG. 5(d)

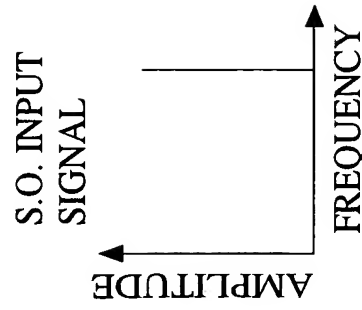


FIG. 6(d)

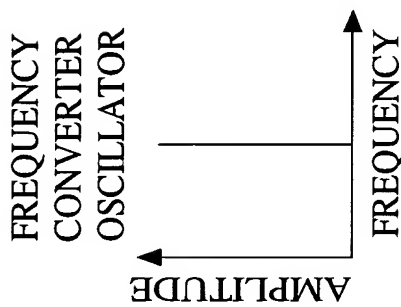


FIG. 6(c)

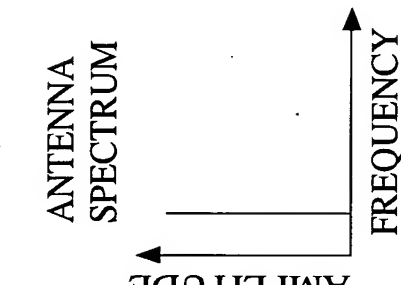


FIG. 6(b)

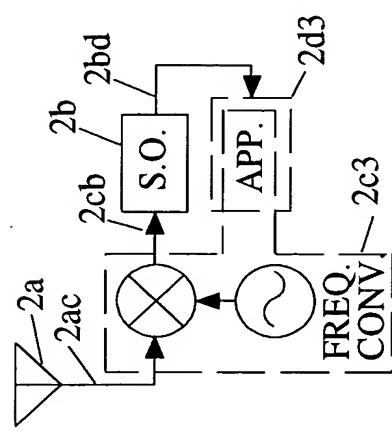


FIG. 6(a)

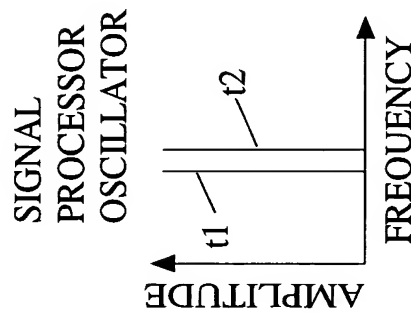


FIG. 7(c)

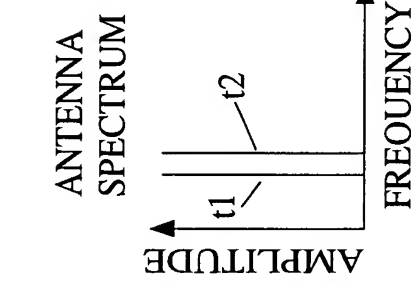


FIG. 7(b)

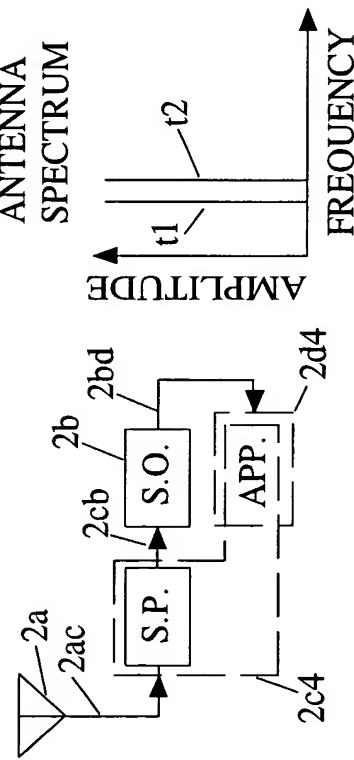


FIG. 7(a)

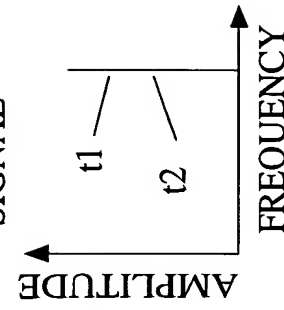


FIG. 7(d)

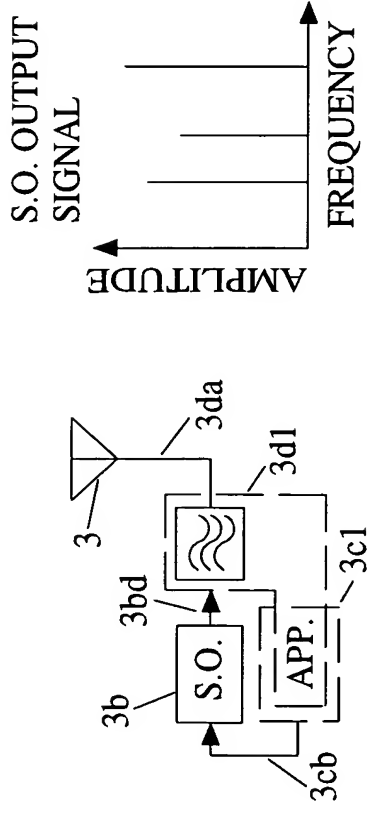


FIG. 8(a)

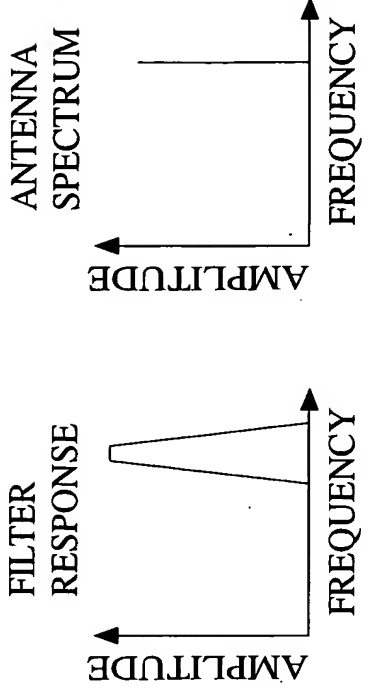


FIG. 8(b)

FIG. 8(c)

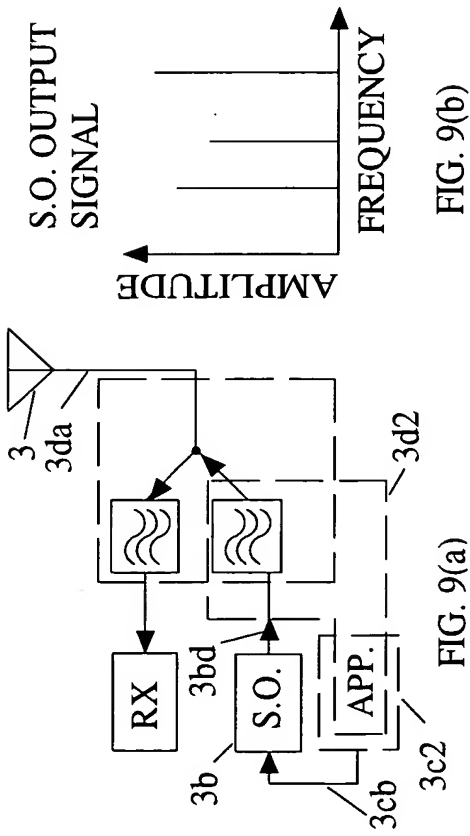


FIG. 9(a)

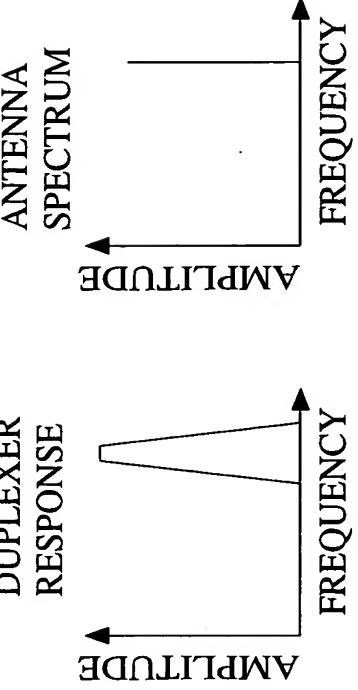


FIG. 9(c)

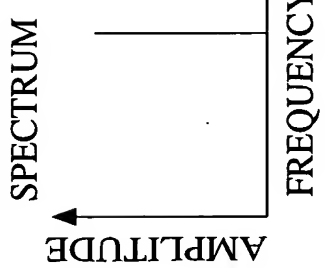


FIG. 9(d)

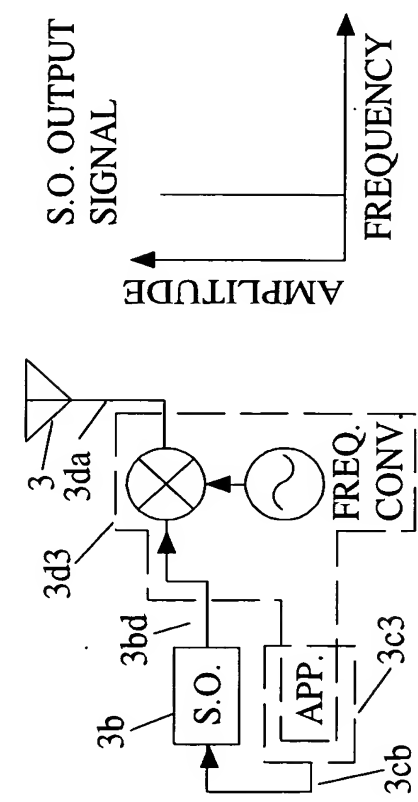


FIG. 10(a)

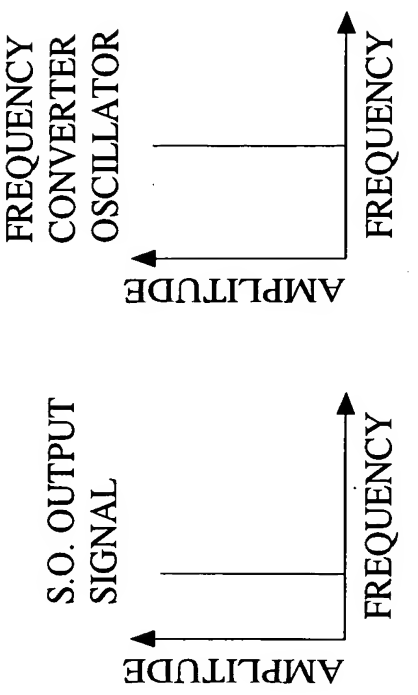


FIG. 10(b)

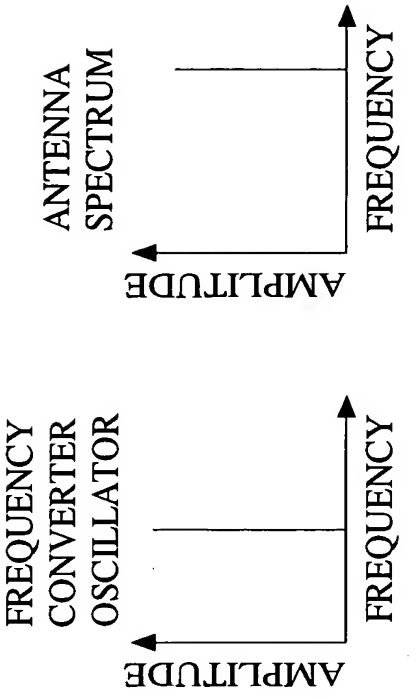


FIG. 10(c)

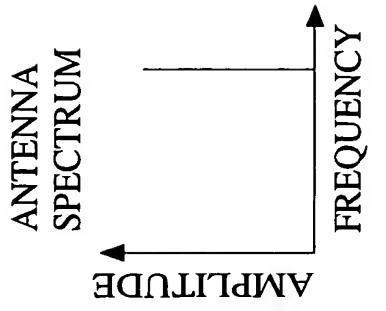


FIG. 10(d)

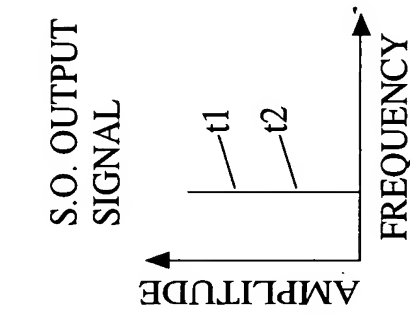


FIG. 11(b)

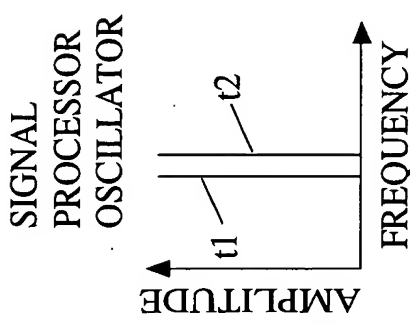


FIG. 11(c)

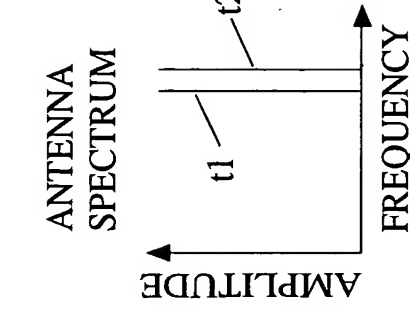


FIG. 11(d)

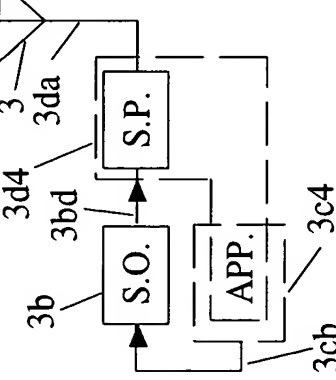


FIG. 11(a)

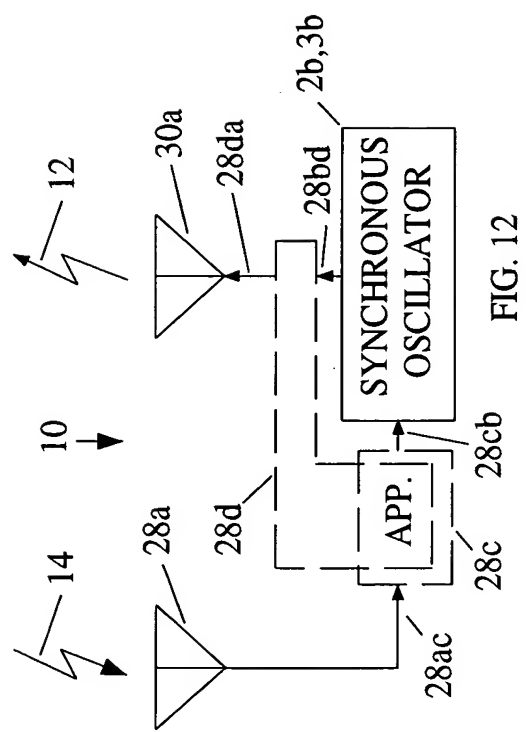


FIG. 12

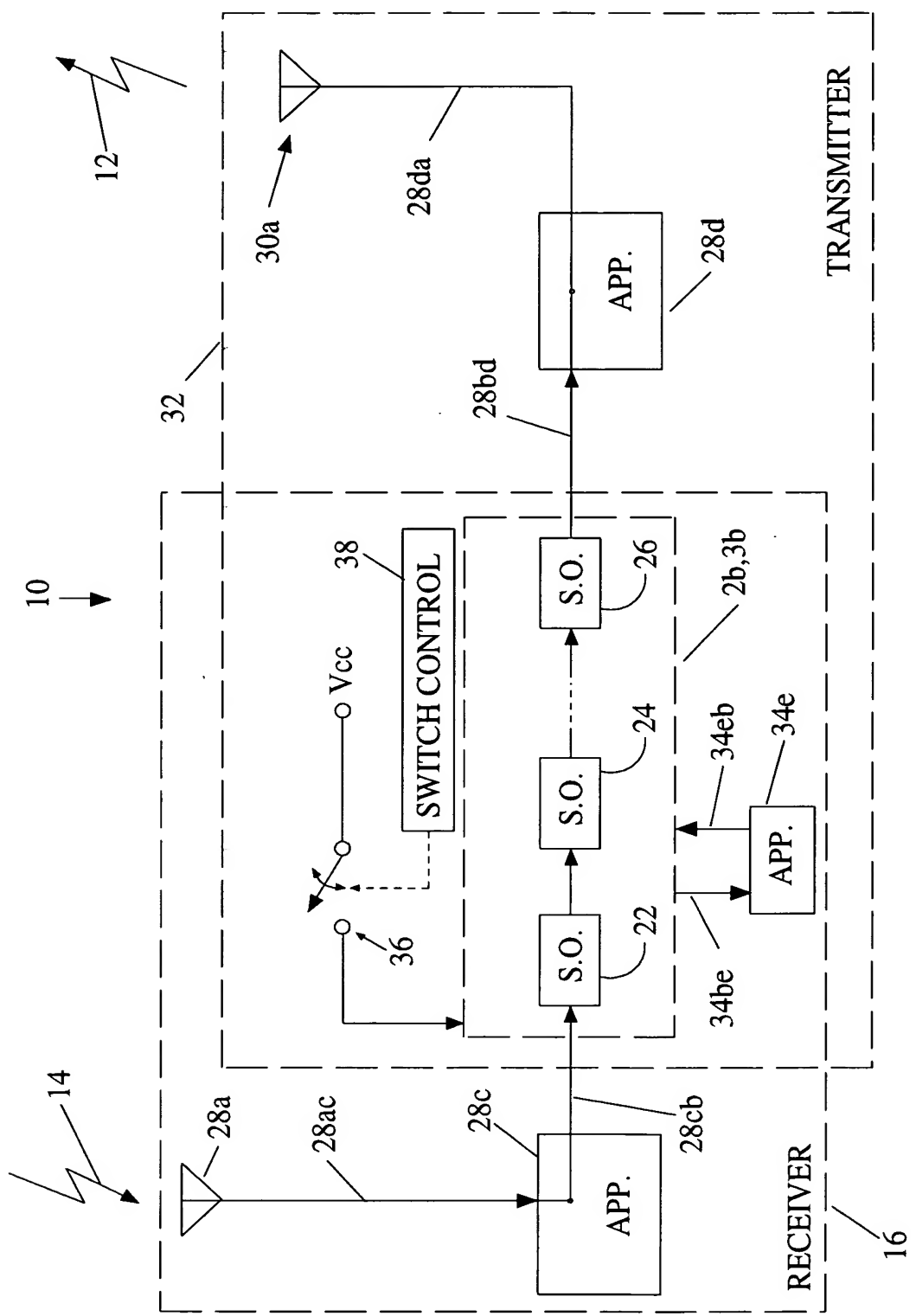


FIG. 12(a)

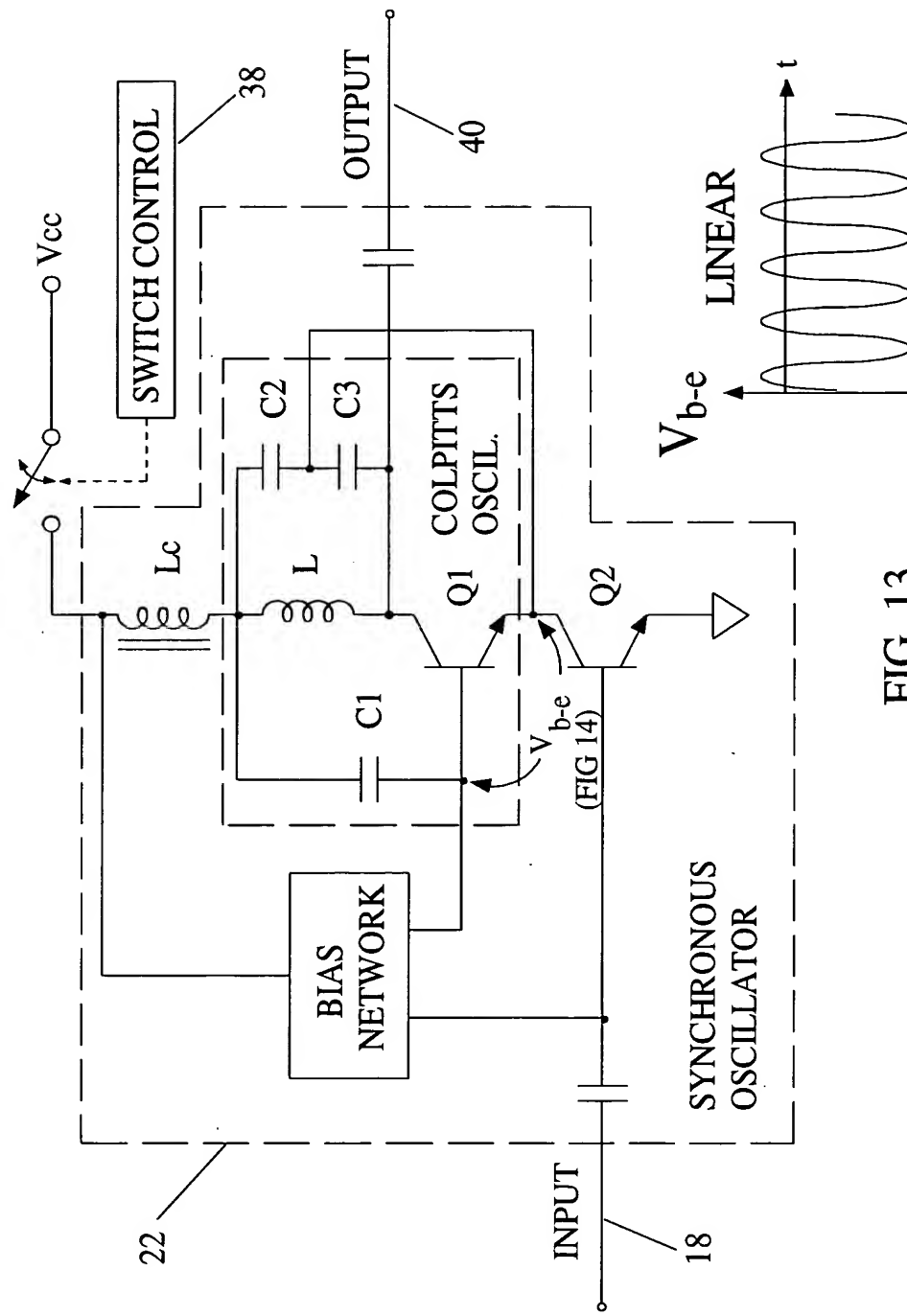
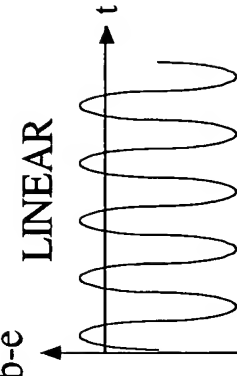


FIG. 13

NONLINEAR

FIG. 14



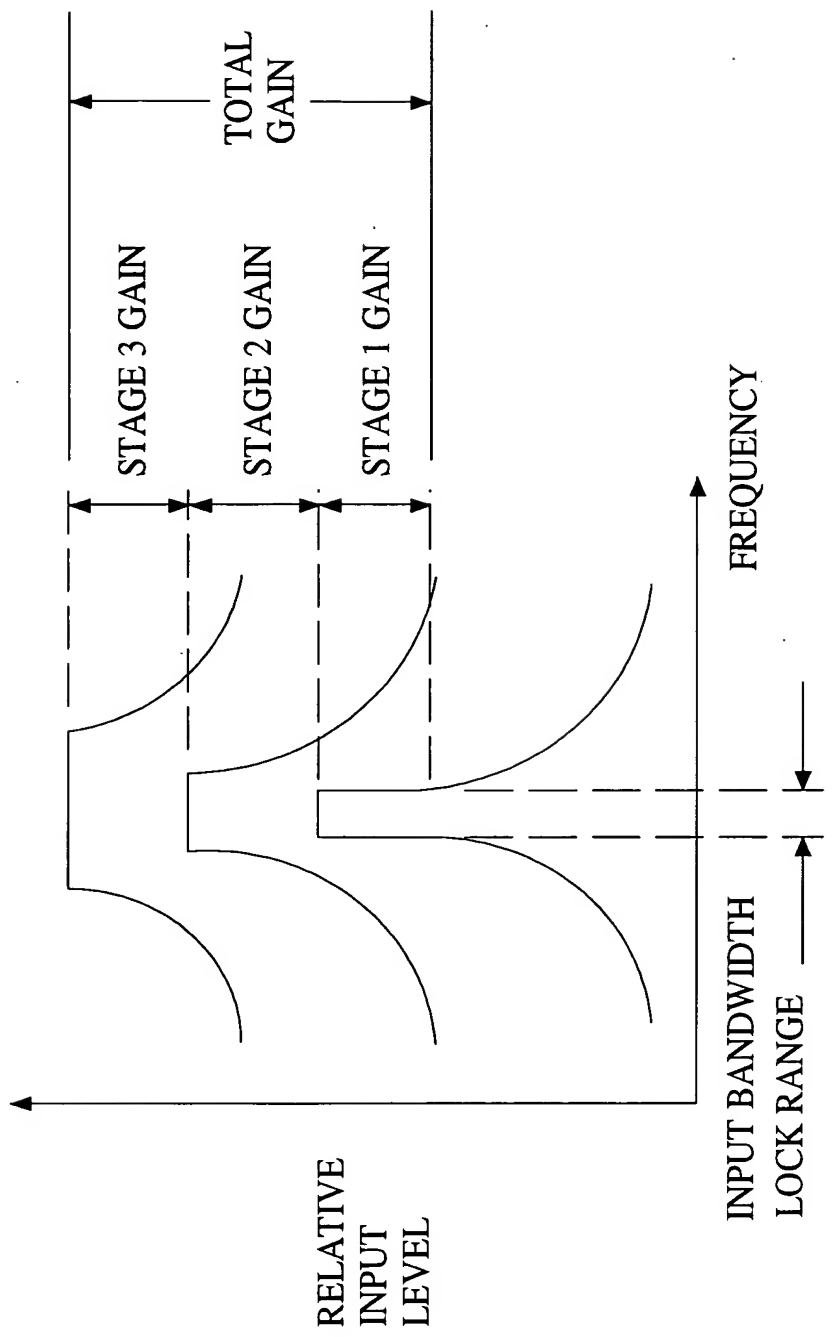


FIG. 15

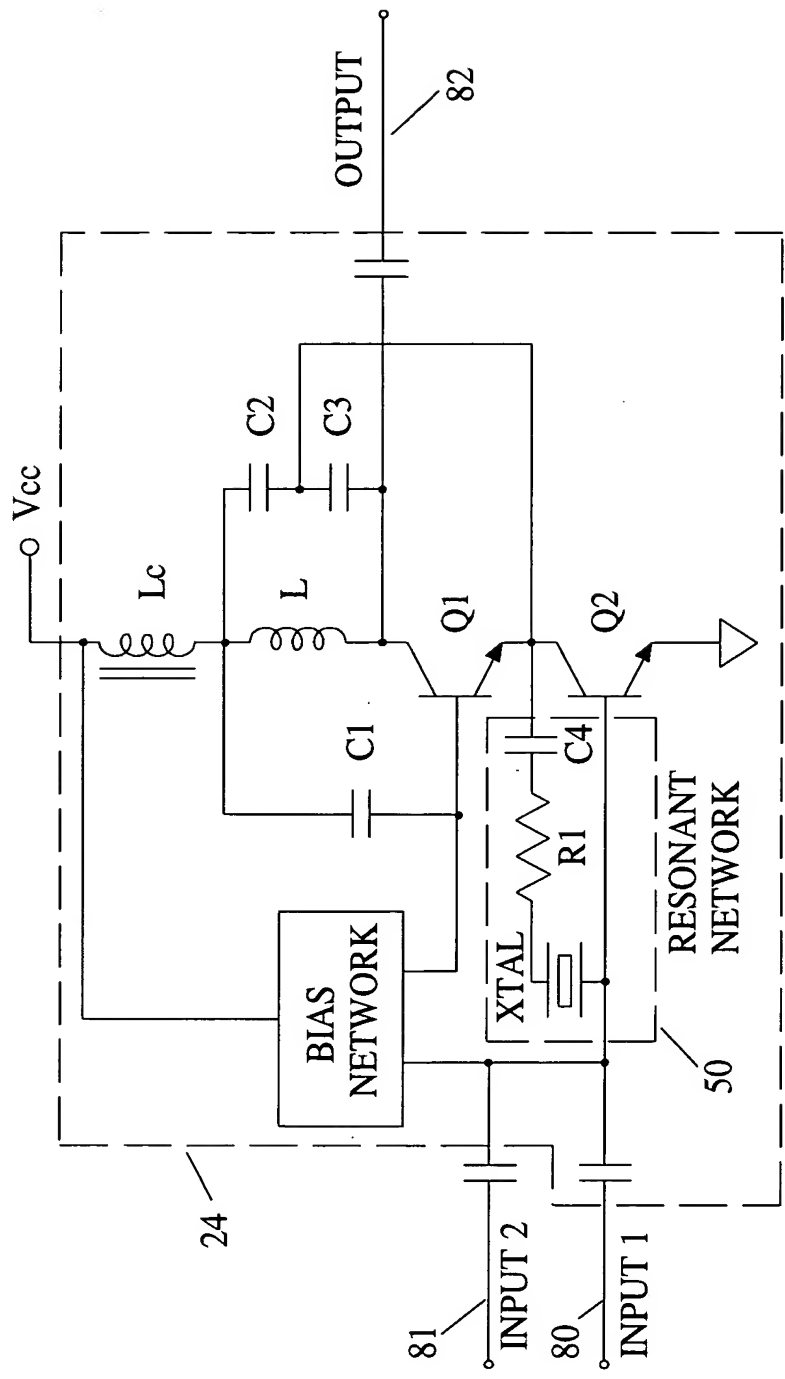


FIG. 16

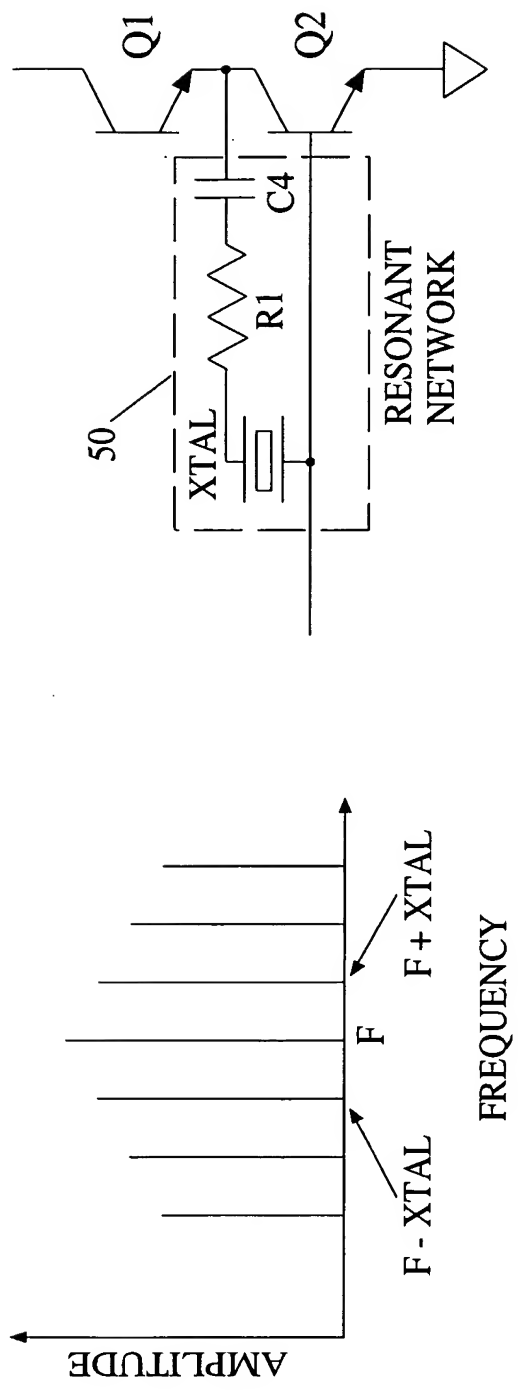


FIG. 18

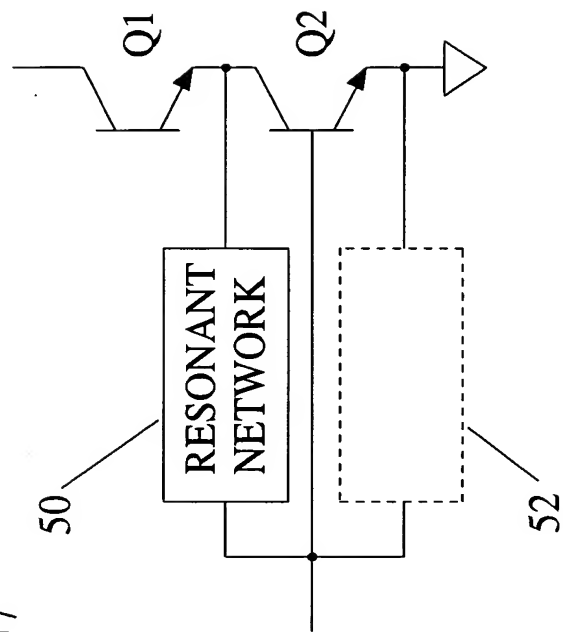


FIG. 19

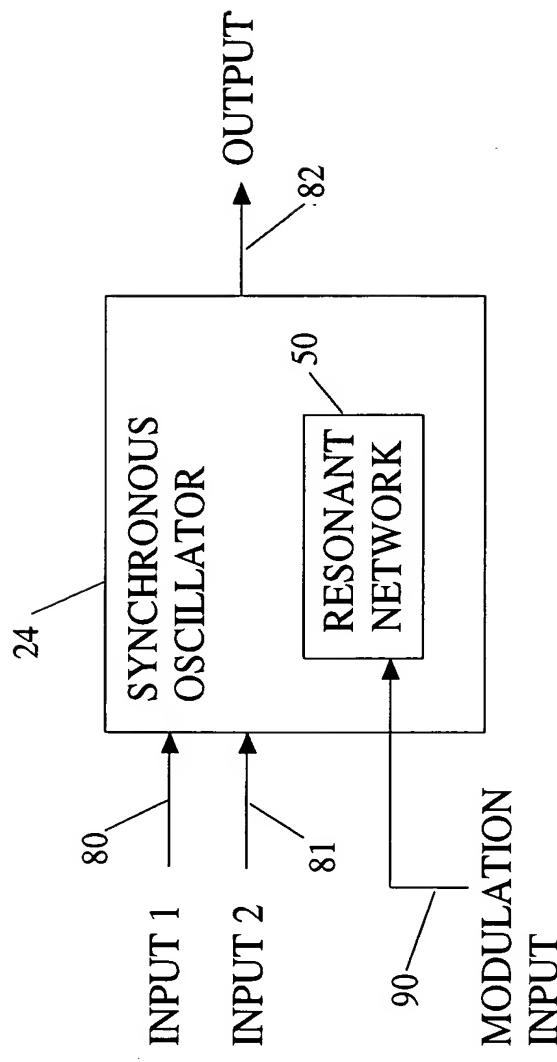


FIG.20

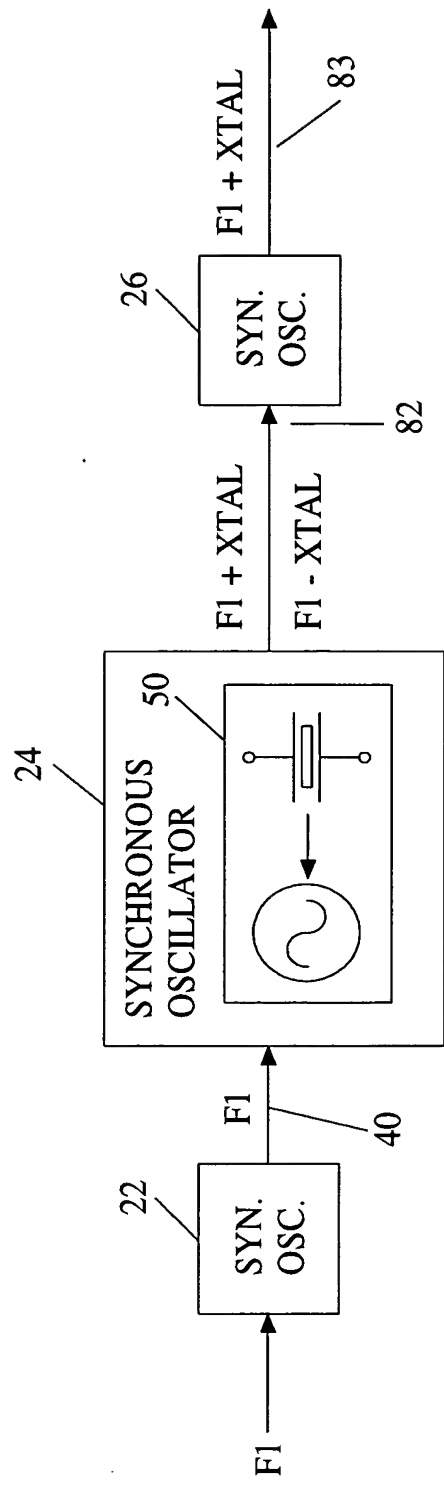


FIG. 21

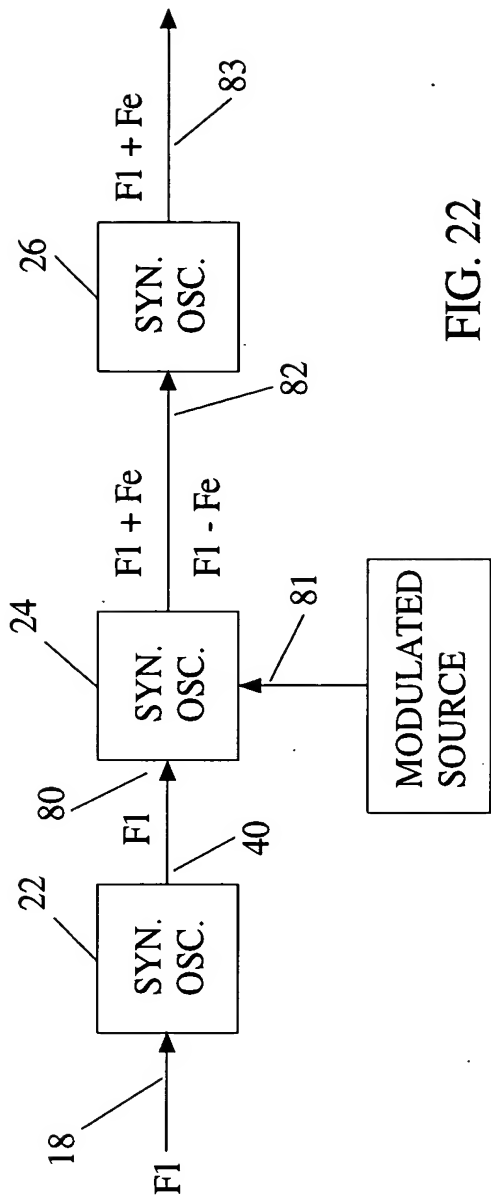


FIG. 22

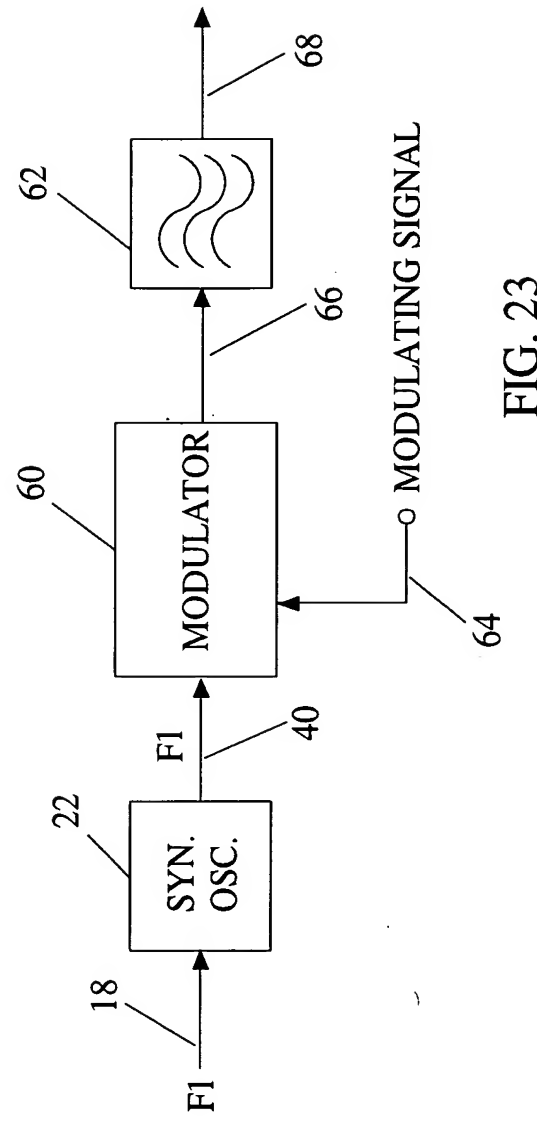


FIG. 23

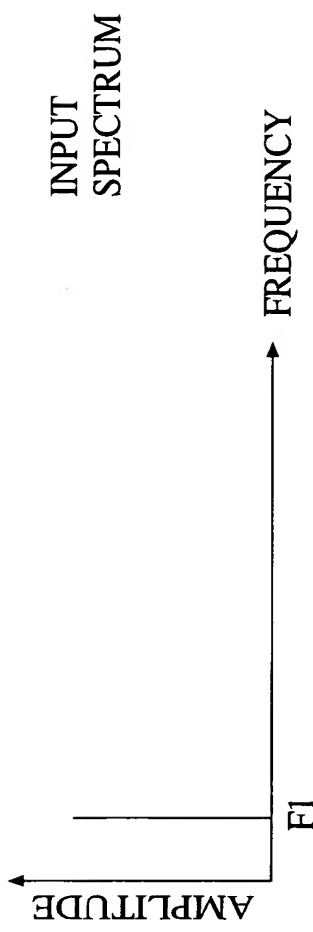


FIG. 24(a)

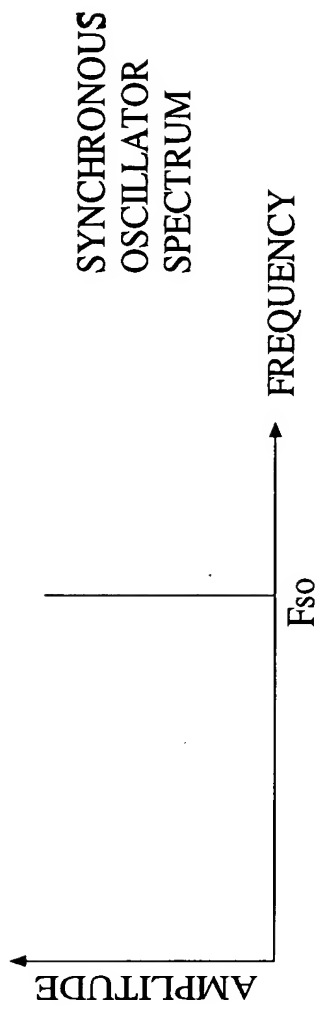


FIG. 24(b)

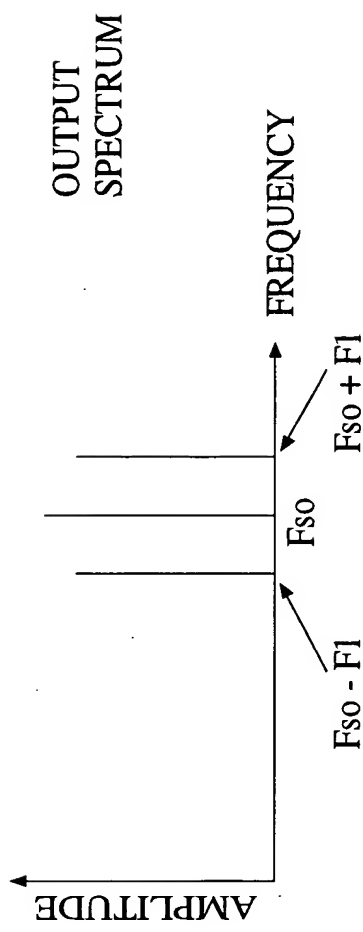
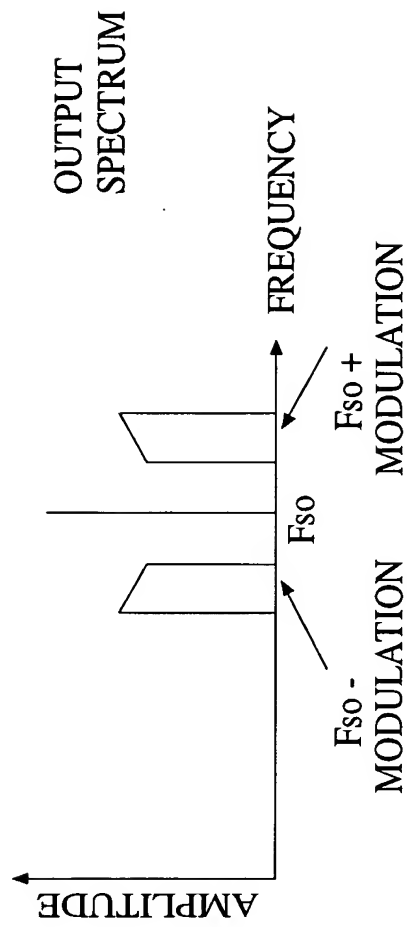
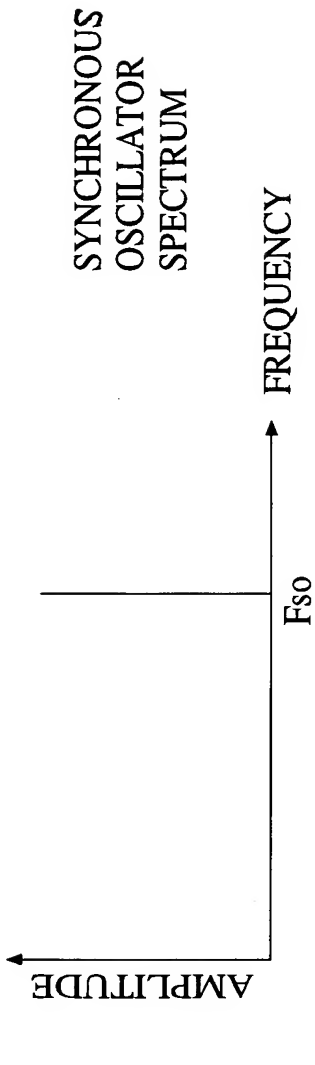
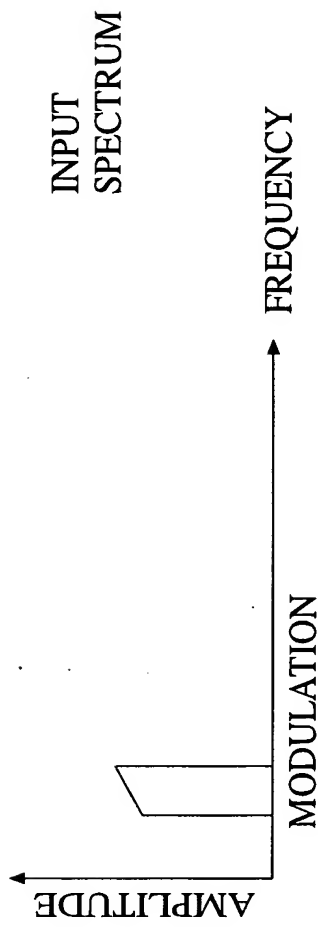
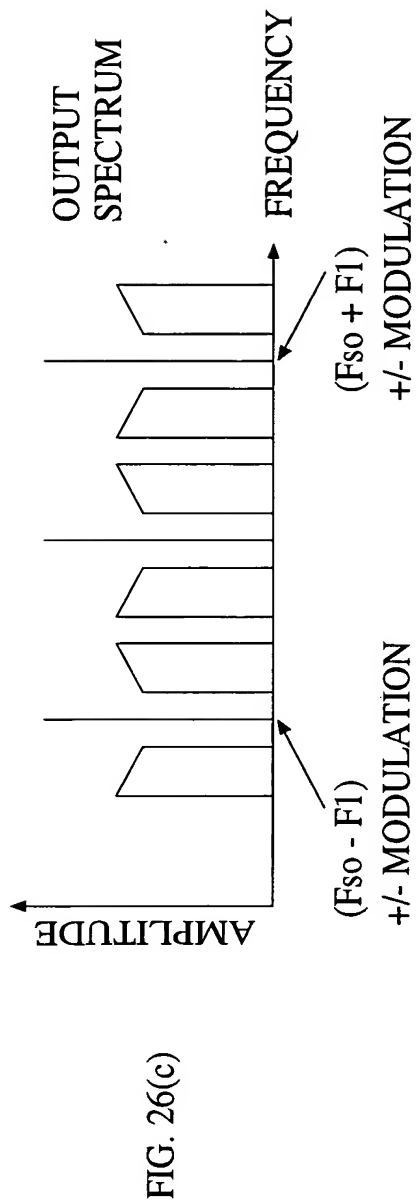
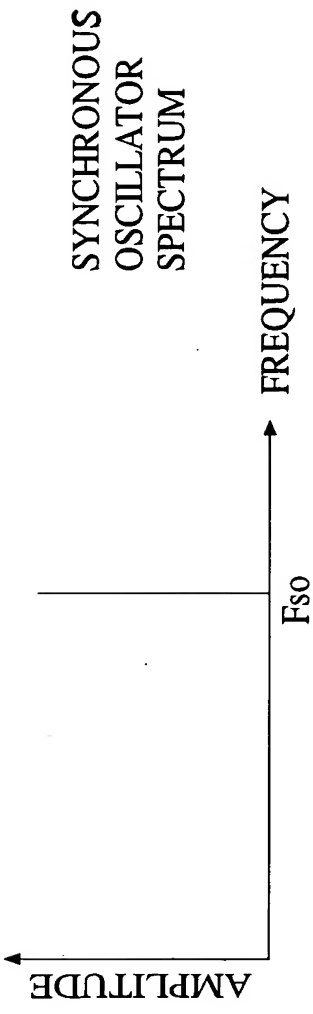
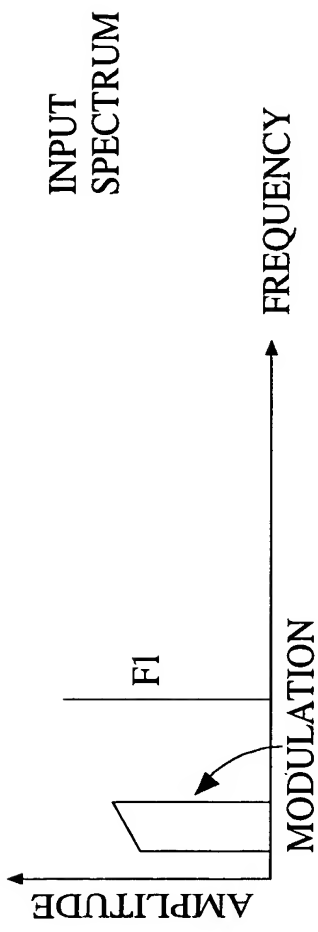


FIG. 24(c)





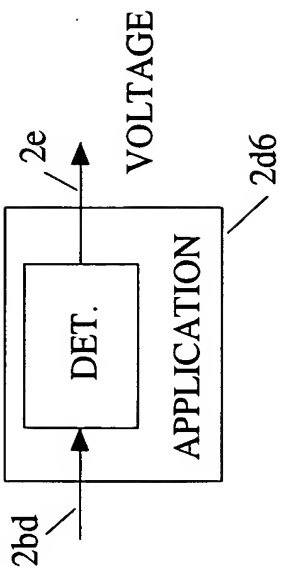
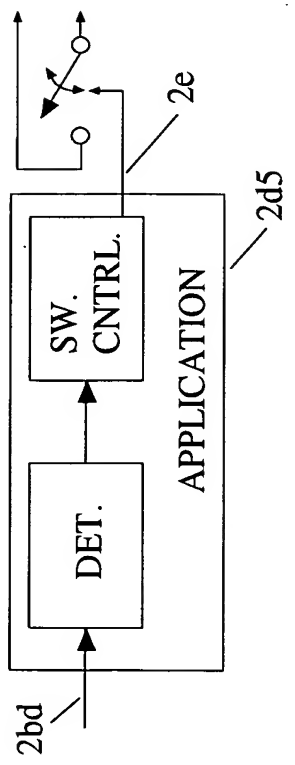


FIG. 27

FIG. 28

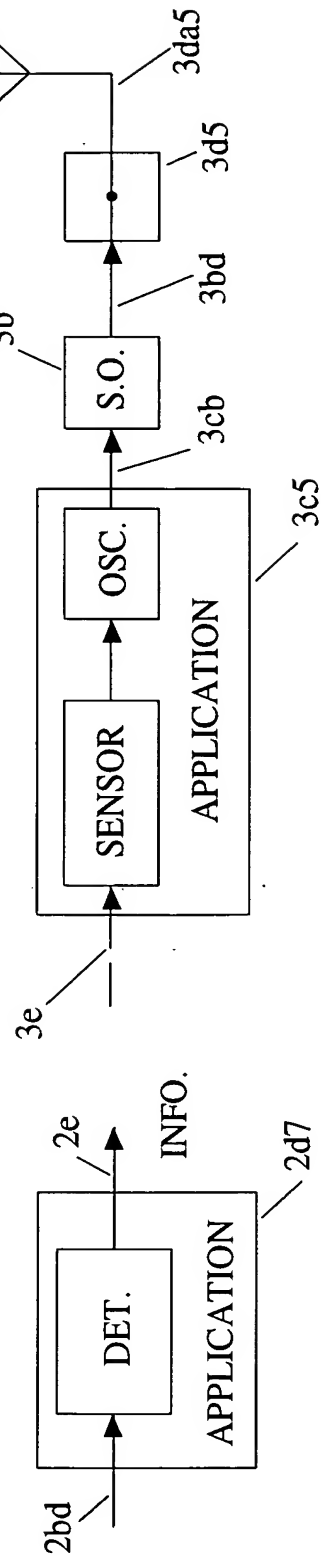


FIG. 29

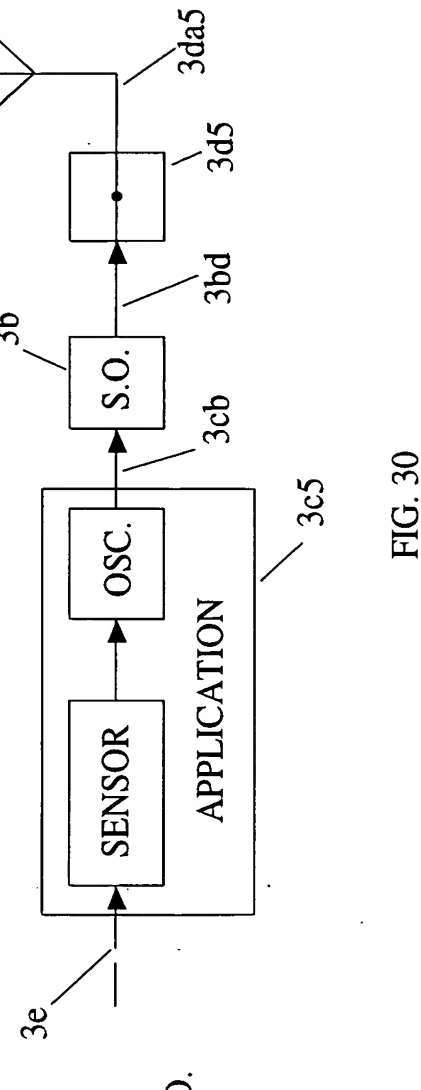


FIG. 30

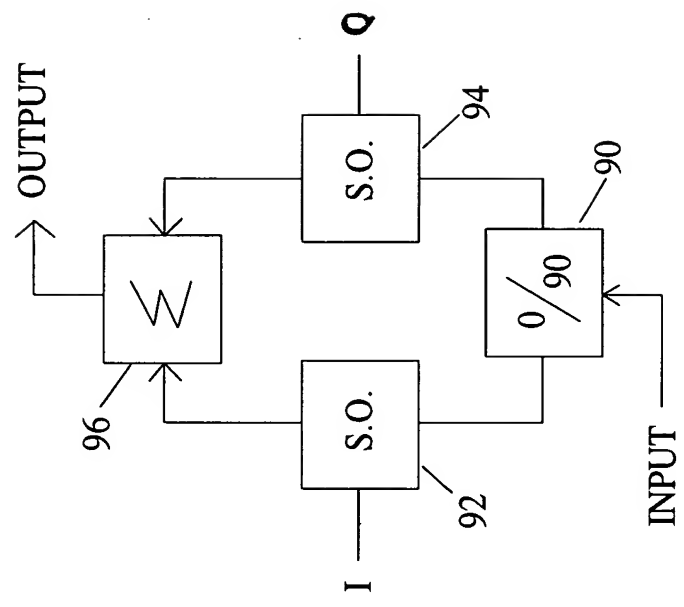


FIG. 31